

# TP: Différences finies pour options à barrières

## Ensimag (2024-2025)

Olivier Zahm\*

Le but du TP est d'étudier quelques schémas de résolution par différences finies de l'équation de Black-Scholes. On s'intéressera en particulier à la convergence et à la stabilité des schémas. Si le temps le permet, on comparera à une approche de type Monte-Carlo.

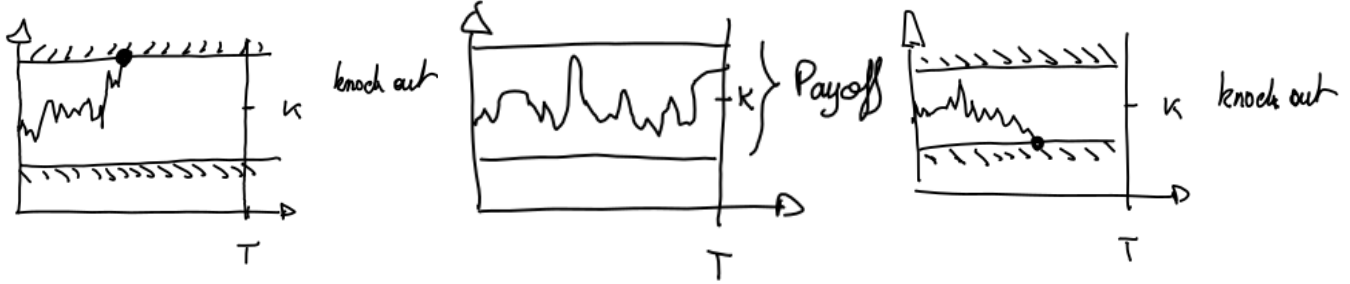
**Consignes:** Vous utilisez le langage de programmation de votre choix (R, Python, Matlab, Julia, Fortran...). Les consignes sont assez ouvertes : n'hésitez pas à prendre des initiatives !

---

\*olivier.zahm@inria.fr

# 1 Option à barrière

Une option à barrière est une option (put ou call) qui se désactive si le sous-jacent dépasse une certaine barrière (knock-out option).



Nous considérons ici deux barrières: une basse  $s = a$  et une haute  $s = b$ . La valeur  $V(s, t)$  de l'option correspond à l'espérance du payoff, en prenant en compte que si le sous-jacent touche l'une des deux barrières avant la date  $T$ , alors l'option est désactivée. Il s'avère que  $V(s, t)$  satisfait l'équation de Black-Scholes

$$\frac{\partial V}{\partial t} + \frac{1}{2}\sigma^2 s^2 \frac{\partial^2 V}{\partial s^2} + rs \frac{\partial V}{\partial s} - rV = 0$$

avec  $V(s, T) = \Phi(s)$  comme condition terminale et

$$V(a, t) = 0 \quad \text{et} \quad V(b, t) = 0,$$

comme conditions aux limites.

## 2 Équation de la chaleur

Après un changement de variables approprié vu en cours, le problème revient à résoudre l'équation de la chaleur suivante

$$\begin{aligned} \frac{\partial u}{\partial t} - \frac{\sigma^2}{2} \frac{\partial^2 u}{\partial x^2} &= 0 & \forall (x, t) \in [a, b] \times [0, T] \\ u(a, t) &= \alpha & \forall t \in [0, T] \\ u(b, t) &= \beta & \forall t \in [0, T] \\ u(x, 0) &= \phi(x) & \forall x \in [a, b]. \end{aligned}$$

On pourra, par exemple, choisir  $a = -1$ ,  $b = 1$ ,  $\sigma^2 = 0.1$ ,  $\alpha = \beta = 0$ ,  $T = 1$  et  $\phi(x) = \max\{x, 0\}$ . On discrétise l'espace avec  $N + 2$  points et le temps avec  $M + 1$  points

$$\begin{aligned} x_n &= a + n\Delta x, \quad n = 0, \dots, N + 1 \\ t_m &= m\Delta t, \quad m = 0, \dots, M, \end{aligned}$$

avec  $\Delta x = (b - a)/(N + 1)$  et  $\Delta t = T/M$ . On notera  $u_n^m$  l'approximation de  $u(x_n, t_m)$  obtenue par les différents schémas suivants:

- **Schéma explicite**

$$\frac{u_n^{m+1} - u_n^m}{\Delta t} - \frac{\sigma^2}{2} \frac{u_{n-1}^m - 2u_n^m + u_{n+1}^m}{\Delta x^2} = 0$$

- **Schéma implicite**

$$\frac{u_n^{m+1} - u_n^m}{\Delta t} - \frac{\sigma^2}{2} \frac{u_{n-1}^{m+1} - 2u_n^{m+1} + u_{n+1}^{m+1}}{\Delta x^2} = 0$$

- **Schéma Crank Nicolson**

$$\frac{u_n^{m+1} - u_n^m}{\Delta t} - \frac{1}{2} \left( \frac{\sigma^2}{2} \frac{u_{n-1}^m - 2u_n^m + u_{n+1}^m}{\Delta x^2} + \frac{\sigma^2}{2} \frac{u_{n-1}^{m+1} - 2u_n^{m+1} + u_{n+1}^{m+1}}{\Delta x^2} \right) = 0$$

**Tâche 1** Implémenter et analyser ces 3 schémas. On commencera par mettre sous forme matricielle ces trois schémas en faisant intervenir les quantités suivantes

$$A = \begin{pmatrix} 2 & -1 & & & 0 \\ -1 & 2 & \ddots & & \\ & \ddots & \ddots & \ddots & \\ & & \ddots & 2 & -1 \\ 0 & & & -1 & 2 \end{pmatrix} \in \mathbb{R}^{N \times N} \quad B = \begin{pmatrix} \alpha \\ 0 \\ \vdots \\ 0 \\ \beta \end{pmatrix} \in \mathbb{R}^N \quad \mu = \frac{\sigma^2 \Delta t}{2 \Delta x^2}$$

Quelques pistes d'analyse et d'argumentation:

- Analyser le schéma de Crank Nicolson:
  1. Montrer que le schéma Crank Nicolson est d'ordre 2 en temps et 2 en espace.
  2. Montrer que le schéma est inconditionnellement stable (au sens de Von Neuman).
- Vérifier numériquement la stabilité du schéma explicite en fonction de la valeur de  $\mu$ . Montrer ce qu'il se passe lorsque  $\mu \geq 1/2$ .
- Pour le schéma implicite comme pour celui de Crank Nicolson, on aura besoin de résoudre un système linéaire. Quel solveur allez-vous utiliser?
- Vérifiez la convergence des schémas. On pourra par exemple utiliser la condition initiale suivante:

$$\phi(x) = \sin \left( \frac{\pi p(x - a)}{b - a} \right)$$

avec  $p \in \mathbb{N}$  (choisi arbitrairement) pour laquelle on connaît la solution exacte

$$u_{\text{ex}}(x, t) = \exp\left(-t \frac{\sigma^2}{2} \left(\frac{p\pi}{b-a}\right)^2\right) \sin\left(\frac{\pi p(x-a)}{b-a}\right).$$

Il suffira donc de comparer la solution obtenue par différence finies avec  $u_{\text{ex}}(x, T)$  évalué aux points  $x_1, \dots, x_N$  (attention: on pensera bien mesurer des erreurs relatives  $\|U - U_{\text{ex}}\|/\|U_{\text{ex}}\|$ ).

- Quel schéma utiliser ? Comment choisir  $N$  en fonction  $M$  ? Pour répondre à ces questions, on pourra lancer une batterie de tests pour plusieurs valeurs de  $N$  et  $M$  et on étudiera les erreurs relatives obtenues.

### 3 Méthode de Monte Carlo (optionnel)

On considère le processus stochastique  $(X_t)_{t \geq 0}$  défini par

$$\begin{aligned} X_0 &= x \\ dX_t &= \sigma dW_t \end{aligned}$$

avec  $W_t$  un processus de Wiener. On pose  $\tau(x)$  la première date  $t$  à laquelle  $X_t$  sort de l'intervalle  $[a, b]$  entre le temps  $t = 0$  et  $t = T$ . Si  $X_t$  ne sort pas de l'intervalle entre  $t = 0$  et  $t = T$ , alors on pose  $\tau(x) = T$ . La solution  $u(x, T)$  de l'équation de la chaleur s'écrit comme

$$u(x, T) = \mathbb{E}[\Phi(X_{\tau(x)}, \tau(x))]$$

avec

$$\Phi(x, t) = \begin{cases} \phi(x) & \text{si } t = T \\ \alpha & \text{si } t < T \text{ et } x = a \\ \beta & \text{si } t < T \text{ et } x = b \end{cases}$$

**Tâche 2** On se propose de calculer  $u(x, t)$  en utilisant la méthode de Monte Carlo. On commence par approcher le processus continu  $X_t$  par le processus discret  $X_m \approx X_{t_m}$  donné par

$$\begin{aligned} X_0 &= x \\ X_{m+1} &= X_m + \sigma \sqrt{\Delta t} \xi_m, \end{aligned}$$

avec  $\xi_1, \dots, \xi_M \sim \mathcal{N}(0, 1)$  des variables indépendantes. En réalisant  $K$  tirages, calculer un estimateur Monte Carlo de  $\mathbb{E}[\Phi(X_{\tau(x)}, \tau(x))]$ . Comparer numériquement la précision obtenue par Monte Carlo et par différences finies.